

## ГЕОФИЗИКА

УДК 550.34+530.145

## О НЕЛИНЕЙНЫХ УПРУГИХ ВОЛНАХ ВТОРОГО РОДА В ПОРИСТЫХ СРЕДАХ

С. А. Арсеньев, Н. К. Шелковников

(кафедра физики моря и вод суши)

E-mail: arrsenyev@yandex.ru

**Исследованы нелинейные матричные волны второго рода, в особенности процессы формирования пилообразных ударных волн. Конкретные расчеты упругих волн проведены в пористых осадочных геопородах, насыщенных газом.**

Изучим волны второго рода (матричные волны) по терминологии Френкеля, Био и Николаевско-го [1]. Они имеют большое значение для нефтяной и газовой промышленности, так как они вызывают переупаковку твердой матрицы осадочных геопород, освобождая удерживаемую в них нефть и газ. Определенный интерес представляют они и для сейсмологии, и для подземной гидрологии. Исходные уравнения теории запишем в виде [2]

$$\rho_1(1-m_0)\frac{D_1 u_i}{D_1 t} - \rho_2(1-m_0)\frac{D_2 w_i}{D_2 t} - \frac{\mu}{a_0}m_0(1-m_0)(w_i - u_i) - \frac{\partial \sigma_{ij}^e}{\partial x_j} = 0, \quad (1)$$

$$\rho_2\frac{D_2 w_i}{D_2 t} + \frac{\partial p}{\partial x_i} + \frac{\mu m_0(1-m_0)}{a_0}(w_i - u_i) = 0, \quad (2)$$

$$(1-m_0)\frac{\partial u_i}{\partial x_i} + m_0\frac{\partial w_i}{\partial x_i} = 0. \quad (3)$$

Здесь  $u_i$  — возмущения скорости смещений твердой матрицы пористой среды,  $w_i$  — колебательная скорость флюида,  $\rho_1$  и  $\rho_2$  — равновесная плотность твердой фазы и флюида,  $\mu$  — вязкость флюида,  $a_0 = k_0(1-m_0)$  и  $k_0$  — проницаемость пласта,  $p$  — поровое давление,  $m_0$  — равновесная плотность,  $\sigma_{ij}^e$  — действующие напряжения,  $D_1/D_1 t = \partial/\partial t + u_j \partial/\partial x_j$  и  $D_2/D_2 t = \partial/\partial t + w_j \partial/\partial x_j$  — операторы Эйлера, описывающие ускорения твердой и флюидной фазы соответственно. Систему (1)–(3) замкнем обобщенным законом Гука, дополненным учетом первой сдвиговой  $\eta$  и второй объемной  $\zeta$  вязкости матрицы породы [1–4]:

$$\sigma_{ij}^e = \left(K - \frac{2}{3}G\right) e \delta_{ij} + 2G e_{ij} + \eta \left(\frac{\partial u_i}{\partial x_j} + \frac{\partial u_j}{\partial x_i} - \frac{2}{3} \frac{\partial u_k}{\partial x_k}\right) + \zeta \frac{\partial u_k}{\partial x_k} \delta_{ij}. \quad (4)$$

Здесь  $K$  — модуль всестороннего сжатия матрицы,  $G$  — ее модуль сдвига.

Для практических целей достаточно изучить волны, распространяющиеся вдоль определенного направления, например  $x$ . Уравнение (3) тогда имеет вид  $u = -w[m_0/(1-m_0)]$ , где  $u \equiv u_x$ ,  $w \equiv w_x$ . Реологическое уравнение (4) переходит в

$$\sigma_{xx}^e \equiv \sigma = \left(K - \frac{4}{3}G\right) e + \left(\frac{4}{3}\eta + \zeta\right) \frac{\partial u}{\partial x}, \quad (5)$$

где  $e \equiv e_{xx}$ . Мы также должны учесть связь деформаций  $e_{ij}$  со смещениями  $L_i$ . Имеем  $e = \partial L_x / \partial x$ ,  $u = \partial L_x / \partial t$  и  $\partial e / \partial t = \partial u / \partial x$  и вместо (1) получим

$$\begin{aligned} \rho_1(1-m_0) \left(\frac{\partial u}{\partial t} + \frac{1}{2} \frac{\partial u^2}{\partial x}\right) - \\ - \rho_2(1-m_0) \left(\frac{\partial w}{\partial t} + \frac{1}{2} \frac{\partial w^2}{\partial x}\right) - \\ - \frac{\mu}{a_0} m_0(1-m_0)(w - u) - \left(K - \frac{4}{3}G\right) \frac{\partial e}{\partial x} - \\ - \left(\frac{4}{3}\eta + \zeta\right) \frac{\partial^2 u}{\partial x^2} = 0. \quad (6) \end{aligned}$$

Из (6) исключим деформацию  $e$ , дифференцируя по времени:

$$\begin{aligned} \rho_1 \left(\frac{\partial^2 u}{\partial t^2} + \frac{1}{2} \frac{\partial^2 u^2}{\partial t \partial x}\right) - \rho_1 \left(\frac{\partial^2 w}{\partial t^2} + \frac{1}{2} \frac{\partial^2 w^2}{\partial t \partial x}\right) - \\ - M \frac{\partial^2 u}{\partial x^2} - V \frac{\partial^2 u}{\partial x^2} - \frac{\mu}{a_0} m_0 \left(\frac{\partial w}{\partial x} - \frac{\partial u}{\partial x}\right) = 0, \quad (7) \end{aligned}$$

где  $M = [K - (4/3)G]/(1-m_0)$  — эффективный модуль матрицы и  $V = [(4/3)\eta + \zeta]/(1-m_0)$  — эффективная вязкость матрицы. Наконец, элиминируя из (7)  $w$ , получим нелинейное волновое уравнение с диссипацией

$$\frac{\partial^2 u}{\partial t^2} - c^2 \frac{\partial^2 u}{\partial x^2} + N \frac{\partial^2 u^2}{\partial t \partial x} + \frac{\mu}{\rho_a a_0} \frac{\partial u}{\partial t} - V_k \frac{\partial^3 u}{\partial t \partial x^2} = 0, \quad (8)$$

в котором  $c = (M/\rho_a)^{1/2}$  — скорость волны второго рода,  $\rho_a = (\rho_1 + \rho_2 - \rho_m)/m_0$  — сейсмическая плотность,  $\rho_m = \rho_1(1 - m_0) + \rho_2 m_0$  — плотность геосреды,

$$N = \frac{1}{2\rho_a} \left[ \rho_1 - \frac{\rho_2(1 - m_0)^2}{m_0^2} \right] \quad (9)$$

— параметр нелинейности,  $V_k = V/\rho_a$  — кинематическая эффективная вязкость матрицы. Из (9) следует, что при значениях средней пористости  $m_0$ , равных

$$m_0^c = \frac{\rho_2}{\rho_1 - \rho_2} \left[ -1 + \sqrt{\frac{\rho_1}{\rho_2}} \right], \quad m_0 > 0, \quad (10)$$

параметр нелинейности  $N$  обращается в нуль и матричные волны становятся чисто линейными. При  $m_0 < m_0^c$   $N < 0$ , в то время как при  $m_0 > m_0^c$   $N > 0$ .

Введем  $T = \omega t$ ,  $S = u/u_0$ ,  $X = \omega x/c$ , где  $\omega$  — частота волны и  $u_0$  — скорость смещений твердой фазы в источнике. Тогда из (8) имеем

$$\frac{\partial^2 S}{\partial T^2} - \frac{\partial^2 S}{\partial X^2} + \text{Ma} N \frac{\partial^2 S^2}{\partial T \partial X} + \text{Da} \frac{\partial S}{\partial T} - \text{Bu} \frac{\partial^3 S}{\partial T \partial X^2} = 0. \quad (11)$$

Здесь  $\text{Ma} = u_0/c$  — акустическое число Маха,  $\text{Da} = \omega_D/\omega$  — число Дарси, в котором частота трения  $\omega_D = \mu/(\rho_a a_0)$ , и  $\text{Bu} = V_k \omega/c^2$  — число Бюргерса, которое можно выразить через сейсмическое число Рейнольдса  $\text{Re}$ . Именно  $\text{Bu} = \text{Ma}/\text{Re}$ ,  $\text{Re} = \rho_a \lambda u_0/2\pi V = \rho_a c u_0/\omega V$ , где  $\lambda$  — длина волны частоты  $\omega$ . Удобно также вводить число Римана  $\text{Ri} = \text{Ma} N$ .

Существенно, что число Дарси  $\text{Da}$  возрастает при понижении частоты  $\omega$ , так что четвертый член в уравнении (11) представляет собой низкочастотное трение, обусловленное процессами фильтрационных перетоков в пористой среде. Наоборот, число Бюргерса  $\text{Bu}$  растет пропорционально частоте  $\omega$ , и пятый член в уравнении (11) представляет собой высокочастотное трение, обусловленное вязкими потерями упругой энергии в твердой матрице. Два типа трения можно трактовать как наличие в пористой среде диссипативных процессов с двумя разными временами релаксации  $\tau_D$  и  $\tau_B$ . Им соответствуют частоты  $\omega_D = 1/\tau_D$ ,  $\omega_B = 1/\tau_B = c^2/V_k$ . Очевидно,  $\text{Bu} = \omega/\omega_B$ ,  $\text{Re} = \omega_B u_0/c\omega$ . Экстремальную частоту трения  $\omega_0$ , на которой оба типа трения сравнимы, легко найти из условия  $\text{Da} = \text{Bu}$ . Имеем

$$\omega_0 = \sqrt{\omega_D \omega_B} = \sqrt{\frac{\mu[K - (4/3)G]}{a_0 \rho_a [(4/3)\eta + \zeta]}}. \quad (12)$$

В таблице представлены результаты расчетов чисел  $\text{Da}$  и  $\text{Bu}$  в зависимости от циклической частоты  $\omega$  для песчаников с плотностью  $\rho_1 = 2.62$  г/см<sup>3</sup>, насыщенных воздухом с плотностью  $\rho_2 = 0.0012$  г/см<sup>3</sup>, при вязкости матрицы  $\eta = \zeta = 3 \cdot 10^3$  пуаз и проницаемости по газу  $k_0 = 1.04 \cdot 10^{-5}$  см<sup>2</sup>. Упругие модули матрицы выбирались равными  $K = 6 \cdot 10^{10}$  дин/см<sup>2</sup> и  $G = 3.6 \cdot 10^{10}$  дин/см<sup>2</sup> [3, 4], так что  $\omega_B = 171428.6$  Гц. При пористости  $m_0 = 0.16$  имеем также  $\omega_D = 7.88$  Гц,  $N = 0.49$ , причем вязкость газа выбиралась равной вязкости воздуха  $\mu = 1.808 \cdot 10^{-4}$  пуаз. Значение  $\omega_0$  (12) оказалось равным 3675.5 Гц. При  $\omega = \omega_0$  имеем  $\text{Bu} = \text{Da} = 0.0027$ . Из таблицы видно, что в широком диапазоне частот  $\omega$  от 16 Гц до 850 кГц  $\text{Bu} \ll 1$ ,  $\text{Da} \ll 1$ . Следовательно, уравнение (11) можно записать следующим образом:

$$\frac{\partial^2 S}{\partial T^2} - \frac{\partial^2 S}{\partial X^2} + \varepsilon \left[ R_1 \frac{\partial^2 S}{\partial T \partial X} + D_1 \frac{\partial S}{\partial T} - B_1 \frac{\partial^3 S}{\partial T \partial X^2} \right] = 0, \quad (13)$$

где  $\text{Ri} = \varepsilon R_1$ ,  $\text{Da} = \varepsilon D_1$ ,  $\text{Bu} = \varepsilon B_1$  и  $\varepsilon < 0.05$  — малый параметр.

Если  $\varepsilon = 0$ , то уравнение (13) переходит в линейное волновое уравнение, имеющее известное решение  $S = \Phi(T - X) = \Phi\{t - (x/c)\}$  в виде волны формы  $\Phi$ . Поэтому при  $\varepsilon \neq 0$  решение уравнения (13) ищем в виде

$$S = Z(\varepsilon X, T - X) = Z(\xi, \tau), \quad (14)$$

т. е. вводим медленную координату  $\xi = \varepsilon X$  и быстрое время  $\tau = T - X$ . Из (13) и (14) находим нелинейное эволюционное уравнение

$$\frac{\partial S}{\partial \xi} + D_2 S - R_2 \frac{\partial S^2}{\partial \tau} - B_2 \frac{\partial^2 S}{\partial \tau^2} = 0; \quad (15)$$

$$D_2 = D_1/2, \quad R_2 = R_1/2, \quad B_2 = B_1/2.$$

В частном случае при  $\text{Da} \rightarrow 0$  уравнение (15) превращается в

$$\frac{\partial S}{\partial \xi} - R_1 S \frac{\partial S}{\partial \tau} - B_2 \frac{\partial^2 S}{\partial \tau^2} = 0. \quad (16)$$

Это уравнение Бюргерса, решения которого обладают характерной чертой: все нелинейные искажения в волне исчезают по мере ее распространения из-за того, что диссипация сглаживает профиль волн [3, 4]. Наоборот, в экспериментах [5, 6] наблюдается накопление нелинейных эффектов и возрастание

|               |                     |                      |                      |                      |                      |                   |                   |                   |
|---------------|---------------------|----------------------|----------------------|----------------------|----------------------|-------------------|-------------------|-------------------|
| $\omega$ , Гц | 1                   | 10                   | 16                   | 100                  | 500                  | 1000              | 3675.5            | $10^4$            |
| $\text{Bu}$   | $6 \cdot 10^{-7}$   | $6 \cdot 10^{-6}$    | $9 \cdot 10^{-6}$    | $6 \cdot 10^{-6}$    | $3 \cdot 10^{-4}$    | $6 \cdot 10^{-4}$ | $2 \cdot 10^{-3}$ | $6 \cdot 10^{-3}$ |
| $\text{Da}$   | 7.88                | 0.78                 | 0.49                 | 0.08                 | 0.016                | 0.008             | $2 \cdot 10^{-3}$ | $8 \cdot 10^{-4}$ |
| $\omega$ , Гц | $5 \cdot 10^4$      | $10^5$               | $5 \cdot 10^5$       | $8.5 \cdot 10^4$     | $5 \cdot 10^6$       |                   |                   |                   |
| $\text{Bu}$   | 0.029               | 0.058                | 0.29                 | 0.496                | 2.92                 |                   |                   |                   |
| $\text{Da}$   | $1.6 \cdot 10^{-4}$ | $7.88 \cdot 10^{-5}$ | $1.58 \cdot 10^{-5}$ | $9.27 \cdot 10^{-6}$ | $1.58 \cdot 10^{-6}$ |                   |                   |                   |

искажений формы волны по мере ее распространения. Это означает, что на обычных для сейсморазведки частотах высокочастотное трение несущественно, и мы приходим к необходимости исследовать справедливое при низких частотах уравнение

$$\frac{\partial S}{\partial \xi} + D_2 S - R_1 S \frac{\partial S}{\partial \tau} = 0. \quad (17)$$

Если источник в точке  $x = 0$  излучает гармоническую волну  $S = \sin T$  с амплитудой  $u_0$  и частотой  $\omega$ , то решение уравнения (17) есть

$$\tau = -\frac{R_1}{D_2} [1 - \exp(-D_2 \xi)] S \exp(D_2 \xi) + \arcsin[S \exp(D_2 \xi)]. \quad (18)$$

Формулу (18) удобно анализировать графически в координатах  $\tau$  и  $S \exp(D_2 \xi)$ , где она представляется в виде суммы синусоиды и прямой с углом наклона к оси ординат  $\psi$ , определяемой из  $\operatorname{tg} \psi = R_1 [1 - \exp(-D_2 \xi)] / D_2$ .

При  $\xi = 0$   $\operatorname{tg} \psi = 0$ , т.е. волна является гармонической. С ростом расстояния  $\xi$  величина  $\operatorname{tg} \psi$  увеличивается, а форма волны искажается: передний фронт становится круче, а задний — более пологим. При  $\xi \rightarrow \infty$   $\operatorname{tg} \psi$  стремится к постоянному значению  $\operatorname{tg} \psi_\infty = R_1 / D_2 = 2 \operatorname{Ri} / \operatorname{Da} = 2 \operatorname{Ma} N \omega / \omega_D$ . Если величина  $\operatorname{tg} \psi$  мала по сравнению с единицей, то влияние нелинейности мало и форма волны близка к синусоиде. Огибающая амплитуд упругих волн в матрице спадает по закону  $\exp(-D_2 \xi)$  с коэффициентом поглощения  $\alpha = \omega_D / 2c = \mu / (\rho_a a_0 c)$ .

С ростом нелинейности  $\operatorname{Ri}$  величина  $\operatorname{tg} \psi_\infty$  растет, фронт волны укрупняется, и при  $\operatorname{tg} \psi_\infty \geq 1$  в геосреде образуются пилообразные ударные волны. Условие  $\operatorname{tg} \psi_\infty = 1$  или  $\operatorname{Da} = 2 \operatorname{Ri}$  определяет пороговую амплитуду образования ударных волн

$$u_0^s = \frac{\omega_D \lambda}{4\pi N} = \frac{\omega_D c}{2N\omega}. \quad (19)$$

Таким образом, для того чтобы в пористой геосреде смогли возникнуть ударные пилообразные волны, необходимо, чтобы число  $a = u_0 / u_0^s$  было не меньше единицы,  $a \geq 1$ . Если же  $a < 1$ , то ударные пилообразные волны не образуются. На рис. 1 приведены формы волны при  $a < 1$  (а) и  $a \geq 1$  (б), иллюстрирующие процесс формирования пилообразных волн в пористой геосреде с фильтрационным трением. Например, для значений  $\omega_D = 7.88$  Гц,  $c = 737.53$  м/с,  $N = 0.49$ ,  $\omega = 30$  кГц получим  $u_0^s = 0.197$  м/с. При амплитуде волны в источнике  $u_0 = 0.1$  м/с имеем  $a = 0.57 < 1$  и ударные волны не образуются. Однако уже на частоте  $\omega = 60$  кГц,  $u_0^s = 0.0983$  м/с,  $a = 1.02 > 1$ , т.е. условие образования ударных волн выполняется.

Расстояние  $x_c$ , на котором происходит формирование ударных волн, находим из уравнения

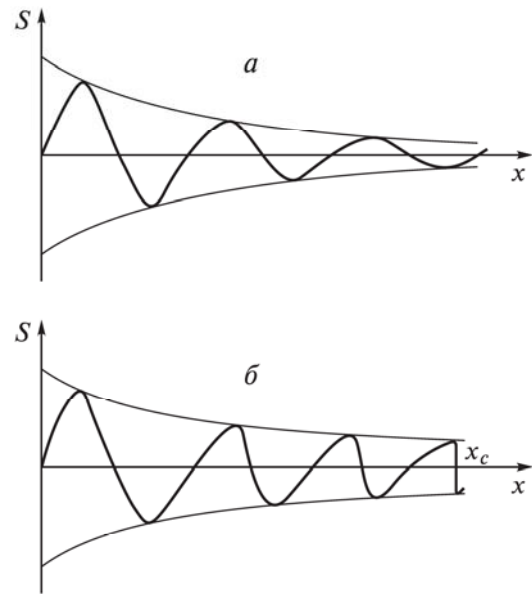


Рис. 1. Затухание матричных волн в пористой среде. При  $a < 1$  (а) пилообразные волны не образуются. При  $a > 1$  (б) на расстоянии  $x = x_c$  происходит образование пилообразных ударных волн

$R_1 [1 - \exp(-D_2 \xi)] / D_2 = 1$ . Оно дает

$$x_c = \frac{2c}{\omega_D} \ln \left( \frac{a}{a-1} \right) = \frac{2\rho_a c k_0}{\mu} (1 - m_0) \ln \left( \frac{a}{a-1} \right). \quad (20)$$

При  $\omega_D = 7.88$  Гц,  $c = 737.53$  м/с и  $a = 1.02$  по формуле (20) находим  $x_c = 767.1$  м. На этом расстоянии укладывается 9932 волны с длиной  $\lambda = 7.7$  см и частотой  $\omega = 60$  кГц. Кроме того, при  $\omega_D = 7.88$  Гц,  $c = 737.53$  м/с из формулы (20) получим  $\alpha = 0.0053$  м<sup>-1</sup>. Экспериментальные данные [7] дают для волн первого рода в насыщенных водой песках значение, равное приблизительно 0.02 м<sup>-1</sup>. Следовательно, поглощение матричных волн второго рода в пористых средах, насыщенных газом, приблизительно в два раза меньше, чем волн первого рода в пористых средах, насыщенных жидкостью, что совпадает с расчетами по линейной теории [1]. Подчеркнем, что, в отличие от огибающей волны, поглощение самих нелинейных волн не является экспоненциальным и не может быть описано с помощью концепции коэффициента поглощения  $\alpha$ . Это связано с тем, что с ростом амплитуды сигнала источника возникают высшие гармоники, забирающие часть энергии у основной волны. Гармоники поглощаются средой сильнее, чем исходный сигнал, поскольку имеют более высокую частоту. В этой связи необходимо детально изучить процесс возникновения нелинейных гармоник.

Для этого предположим, что источник (например, сейсмический вибратор) излучает гармоническую волну  $S = \cos T$ , и запишем решение (17) в виде

$$S = \exp(-D_2 \xi) \cos \left\{ \tau + \frac{R_1}{D_2} S [1 - \exp(D_2 \xi)] \right\}. \quad (21)$$

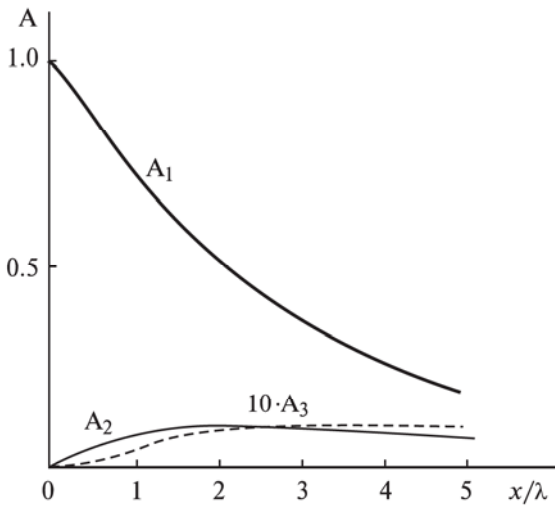


Рис. 2. Расчет спектра матричных волн по формуле (22) при условии  $a < 1$ ,  $Da = 0,1$  на различных расстояниях  $x$  от источника. Порог  $a = 1$  не превышен и ударные волны не образуются

Спектральное разложение этого решения есть

$$S \approx \exp(-D_2\xi) \times \left\{ \sum_{n=0}^{\infty} [J_{2n}(\gamma) - J_{2n+2}(\gamma)] \cos[(2n+1)\tau + \pi n] + \sum_{n=1}^{\infty} [J_{2n-1}(\gamma) + J_{2n+1}(\gamma)] \cos \left[ 2n\tau + \left( \frac{2n-1}{2} \right) \pi \right] \right\} \equiv A_1(\xi) \cos \tau + A_2(\xi) \cos \left( 2\tau + \frac{\pi}{2} \right) + A_3 \cos(3\tau + \pi) + \dots, \quad (22)$$

где буквой  $J$  обозначена функция Бесселя и  $\gamma = R_1 [1 - \exp(-D_2\xi)] / D_2$ . Конкретные расчеты по формуле (22) проведены нами для случая  $Da = 0,1$ , так что  $\omega = 10\omega_D$ . Расчеты проведены для двух уровней входного сигнала (рис. 2 и 3). В первом случае (рис. 2)  $a < 1$  и ударные волны не образуются. Максимум амплитуды первой гармоники достигается при  $x = 1,5\lambda$ , а третьей гармоники — при  $x = 3,5\lambda$ . Во втором случае (рис. 3) амплитуда входного сигнала  $u^0$  выше порогового значения,  $a > 1$  и на расстоянии  $x = 1,276\lambda$  образуются ударные пилообразные волны.

В заключение рассмотрим общее эволюционное уравнение (15). Введем новую переменную  $z = 2R_2\xi = R_1\xi$  и запишем (15) в виде

$$\frac{\partial S}{\partial z} + \Theta S - S \frac{\partial S}{\partial \tau} - \Gamma \frac{\partial^2 S}{\partial \tau^2} = 0, \quad (23)$$

где  $\Theta = D_2/2R_2 = Da/2Ri$ ,  $\Gamma = B_2/2R_2 = Bu/2Ri$  — безразмерные критерии. Применим к уравнению (23) известную в теории нелинейных волн замену Коула–Хопфа [8], которую проведем в два приема. Сначала введем функцию  $\psi$ , связанную

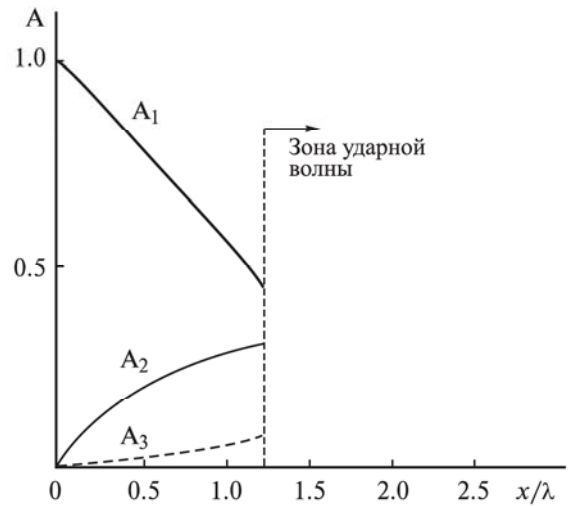


Рис. 3. Расчет спектра матричных волн по формуле (22) при условии  $a > 1$ ,  $Da = 0,1$  на различных расстояниях  $x$  от источника. Порог  $a = 1$  превышен, и ударные пилообразные волны сформировались на расстоянии  $x_c = 1,276\lambda$

с безразмерной скоростью деформаций формулой  $S = \partial\psi/\partial\tau$ . Затем введем функцию  $\varphi$ , связанную с  $\psi$  равенством  $\psi = 2\Gamma \ln \varphi$ . Тогда вместо (23) получим  $\partial\varphi/\partial z = \Gamma \partial^2\varphi/\partial\tau^2 - \Theta\varphi \ln \varphi$ . Это уравнение теплопроводности с коэффициентом диффузии  $\Gamma$  и источником энергии  $\varphi \ln \varphi$ , зависящим от температуры  $\varphi$ . Оно описывает автоволны [9], имеющие скорость порядка  $(\Gamma/\Theta)^{1/2} = (Bu/Da)^{1/2}$ . Время существования автоволн имеет порядок  $1/\Theta = 2Ri/Da$ .

### Литература

1. Николаевский В.Н. Геодинамика и флюидодинамика. М., 1996.
2. Арсеньев С.А., Николаевский В.Н., Шелковников Н.К. // Вестн. Моск. ун-та. Физ. Астрон. 2006. № 1. С. 69 (Moscow University Phys. Bull. 2006. N 1. P. 91).
3. Быков В.Г., Николаевский В.Н. // Докл. РАН. 1992. **323**, № 3. С. 446.
4. Быков В.Г., Николаевский В.Н. // Докл. РАН. 1993. **325**, № 1. С. 35.
5. Алешин А.С., Гуцин В.В., Креков М.М. и др. // ДАН СССР. 1981. **200**, № 3. С. 574.
6. Nagaya K., Soga K., Mitchell J.K. // Geotechnique. 2001. **51**, N 1. P. 85.
7. Kibbelwhite A.C. // J. Acoust. Soc. Am. 1989. **86**, N 2. P. 716.
8. Виноградова М.Б., Руденко О.В., Сухоруков А.П. Теория волн. М., 1990.
9. Гуревич А.В., Минц Р.Г. // Успехи физических наук. 1984. **142**, № 1. С. 61.

Поступила в редакцию 27.09.06